

4광파 혼합을 이용한 결합파 방정식 해석에 관한 연구

서식철*, 김은수, 양인호

광운대학교 전자공학과

A Study on the Analysis of Coupled Wave Equations
using the Four Wave MixingSuk Chul Suh*, Run Soo Kim, In Bung Young
Dept. of Electronics Eng., Kwang Woon University

국문요약

본 논문에서는 처음으로 펌프파의 세기가 선형흡수를 무시한 광굴절 결경체 내에서 변하는 경우를 고려한 반사형 4광파 혼합 결합파 방정식의 정확한 해를 구하였다. 위상공액거울(Phase Conjugate Mirror; PCM)과 연관된 수치 해석 결과, 다안정성(Multistability)과 자기발진(Self-Oscillation)도 가능함이 분석되었다.

1. 서론

최근 광굴절 결경체에서 4광파 혼합을 이용한 위상공액 장학에 관한 연구가 활발히 진행되고 있다.

광굴절 결경체는 가시광선 영역 이상의 주파수를 갖는 낮은 출력의 광파에 대해서도 강한 비선형 효과를 나타내므로, 이런 성질을 광 외곡보상, 실시간 광 신호 처리, 광빔 증폭, 실시간 흐로그래픽 간섭계, 비선형 레이저 분광학, 레이저 동공 내 외곡보상 등에 이용할 수 있다. [1], [3], [4]

1972년 Zel'dovich 등은 유도 Brillouin 산란(Stimulated Brillouin Scattering) 실험에서 최초로 광 위상공액 현상을 관찰하였으며, 1977년 Yariv와 Pepper에 의해 간섭파면과 회절각자 사이에 위상차가 존재하지 않는 Kerr-like medium에서 4광파 혼합 광 위상공액 이론이 공식화 되면서, 간섭파면과 회절각자 사이에 위상차가 존재하는 광굴절 결경체에서의 4광파 혼합 결합파 이론이 연구되었다. [2] ~ [4] 그 결과로 광 위상공액 반사율의 양안정성(Bistability)과 다안정성(Multistability) 그리고 자기발진(Self-Oscillation)과 같은 흥미로운 특성이 관찰되었다. [4] ~ [6]

그러므로 본 논문에서는 선형흡수를 무시한 광굴절 결경체에서 펌프파의 세기가 결경체 내에서 변하는 경우를 고려한 반사형 4광파 혼합 결합파 방정식의 일반해를 구

하고, 이 때 나타나는 위상공액 반사율의 불안정 특성을 연구한다.

2. 결합파 방정식의 정확한 해

일반적으로 위상 공액파를 발생시키기 위하여 축퇴 4광파 혼합법을 사용하는데 그 개요도를 그림1에 나타내었다.

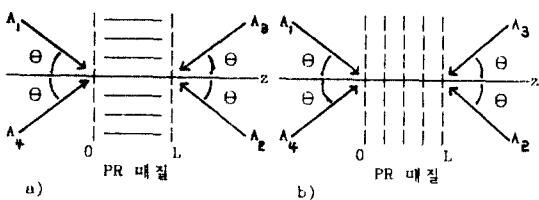


그림 1. 4광파 혼합법의 개요도.

- 주파형 실시간 흐로그래피
(빔 A_1, A_4 와 A_2, A_3 가 서로 간섭성)
- 반사형 실시간 흐로그래피
(빔 A_1, A_3 와 A_2, A_4 가 서로 간섭성)

먼저 그림1 b)에서 빔 A_1, A_3 와 A_2, A_4 가 서로 간섭성 이어서 반사형 회절각자가 지배적인 경우, 결합파 방정식은 다음과 같이 간단히 쓸 수 있다. 이 때 선형흡수 α 는 무시할 수 있다고 가정한다.

$$\frac{dA_1}{dz} = -\frac{\gamma}{I_0} (A_1 A_3^* + A_2 A_4^*) A_3 \quad (2-1a)$$

$$\frac{dA_2}{dz} = -\frac{\gamma}{I_0} (A_1 A_3^* + A_2 A_4^*) A_4^* \quad (2-1b)$$

$$\frac{dA_3}{dz} = -\frac{\gamma}{I_0} (A_1 A_3^* + A_2 A_4^*) A_1^* \quad (2-1c)$$

$$\frac{dA_4}{dz} = -\frac{\gamma}{I_0} (A_1 A_3^* + A_2 A_4^*) A_2 \quad (2-1d)$$

여기서, 결합상수 γ 를 다음과 같이 정의한다.

$$\gamma = -\frac{j\omega n_L \exp(j\phi_L)}{2C \cos\theta} \quad (2-2)$$

식 (2-1)은 다음과 같은 에너지 보존 법칙을 만족한다.

즉, C , g_0 , d_1 , d_2 는 z 방향에 대해 상수이다.

$$C = A_1 A_2 - A_3 A_4 \quad (2-3a)$$

$$g_0 = (A_1 A_3^* + A_2 A_4^*) \exp(-\gamma z) \quad (2-3b)$$

$$d_1 = A_1 A_1^* - A_3 A_3^* = I_1 - I_3 \quad (2-3c)$$

$$d_2 = A_2 A_2^* - A_4 A_4^* = I_2 - I_4 \quad (2-3d)$$

식 (2-3b)를 식 (2-1)에 대입한 후, I_0 를 구하면

$$I_0(z) = [4|g|^2 \exp(\gamma + \gamma^*)z + Kz]^{1/2} \quad (2-4)$$

여기서 K 는 적분 상수로서 $I_0(0)$ 과 $I_0(L)$ 에 따라 표현될 수 있으며, 식 (2-4)를 통하여 다음과 같은 서열을 알 수 있다.

i) 간섭패턴과 꿀절지수 회절각자 사이의 위상차가 0인 경우 ; 결합상수 γ 의 위상이 0이 되어, 허수값만을 갖게되므로 4광파의 세기 합 $I_0(z)$ 는 결정체 내에서 z 에 무관한 상수값이 된다.

ii) 위상차가 0이 아닌 경우 ; 결합상수 γ 의 위상이 0이 아니므로 γ 가 허수값과 실수값을 동시에 갖게 되어 $I_0(z)$ 는 결정체 내에서 변하게 됨을 알 수 있다.

이제 결합파 방정식의 정확한 해를 구하기 위하여, 식 (2-3), (2-4)를 이용하여 $A_{12} = A_1/A_2^*$, $A_{34} = A_3^*/A_4$ 에 대한 표현식을 구하면 다음과 같다.

$$\frac{dA_{12}}{dz} = -\frac{\gamma}{I_0} [C + (d_1 - d_2) A_{12} - C^*(A_{12})^2] \quad (2-5a)$$

$$\frac{dA_{34}}{dz} = -\frac{\gamma}{I_0} [C^* + (d_1 - d_2) A_{34} - C(A_{34})^2] \quad (2-5b)$$

식 (2-4)를 식 (2-5)에 대입한 후, 일차 선형 미분 방정식을 직접 적분법에 따라 풀면 $A_{12}(z)$ 와 $A_{34}(z)$ 에 대한 일반해가 다음과 같이 구해진다.

$$A_{12}(z) = \frac{S_+ D \exp(-\gamma z) - S_- D^{-1} \exp(\gamma z)}{2C(D \exp(-\gamma z) - D^{-1} \exp(\gamma z))} \quad (2-6a)$$

$$A_{34}(z) = \frac{S_+ E \exp(\gamma z) - S_- E^{-1} \exp(-\gamma z)}{2C(E \exp(\gamma z) - E^{-1} \exp(-\gamma z))} \quad (2-6b)$$

여기서,

$$\gamma(z) = \frac{Q}{21} \gamma z \quad , \operatorname{Re}(\gamma) = 0 \quad (2-7a)$$

$$= \frac{Q}{2K} \frac{\gamma}{\gamma + \gamma^*} \ln \left(\frac{I_0 - K}{I_0 + K} \right), \operatorname{Re}(\gamma) \neq 0 \quad (2-7b)$$

또한 다음과 같은 양을 정의한다.

$$\Delta = d_1 - d_2 \quad (2-8a)$$

$$Q = (\Delta^2 + 4|C|^2) \quad (2-8b)$$

$$S_+ = \Delta + Q \quad (2-8c)$$

식 (2-6)에서 D, E 는 적분상수이다.

외부에서 공급된 펌프파를 갖는 위상공액거울(Phase

Conjugate Mirror)의 반사율을 구하기 위하여, 먼저 식 (2-6)에 광글결 결정체의 경계면 $z=0$ 과 $z=L$ 을 대입하여 이미 정의한 상수와 알고 있는 4광파의 세기에 따라 D, E 를 구한 후 $|C|^2$ 에 대해 풀면 다음식을 얻는다.

$$\frac{Q + [\Delta + 2I_2^*(L)] \tanh(\gamma)}{Q - [\Delta - 2|C|^2 / I_2^*(L)] \tanh(\gamma)} = \frac{I_1(0) \cdot I_2^*(L)}{|C|^2} \frac{Q + \Delta \tanh(\gamma)}{Q + [\Delta - 2I_2^*(0)] \tanh(\gamma)} \quad (2-9)$$

여기서,

$$\begin{aligned} \gamma &= \frac{\gamma}{21} \gamma L & \operatorname{Re}(\gamma) &= 0 \\ -\frac{Q}{2K} \frac{\gamma L}{\gamma + \gamma^*} \left[1 + \frac{1}{\operatorname{Re}(\gamma L)} \ln \frac{I_0(0) + K}{I_0^*(L) + K} \right], \operatorname{Re}(\gamma) &\neq 0 \end{aligned} \quad (2-10)$$

3 결과 분석 및 고찰

이 절에서는 본 논문에서 구한 반사형 4광파 혼합 결합파 방정식의 일반해를 $\phi \neq 0, \phi = 0$ 로 나누어서 고찰한다.

i) 간섭패턴과 꿀절지수 회절각자 사이의 위상차가 0이 아닌 경우; 위상공액 반사율은 다음과 같이 주어진다.

$$R = |A_{34}(0)|^2 = 4|C|^2 \left(\frac{\tanh(\gamma)}{\Delta \tanh(\gamma) + Q} \right)^2 \quad (3-1)$$

ii) 간섭패턴과 꿀절지수 회절각자 사이의 위상차가 0인 경우; 식 (2-9)는 다음과 같이 줄어든다.

$$\tan^2|\gamma| = \frac{|\gamma|^2 (B_1 - |\gamma|^2 + B_2)}{|\gamma|^2 (1 - B_1) - B_2} \quad (3-2)$$

여기서, $|\gamma| = Q/I_0$

$$I_0 = I_1(0) + I_2(L) + I_3(L) + I_4(0)$$

$$\Delta = I_1(0) - I_2(L) + I_4(0)$$

$$B_1 = 4I_1(0)I_2(L)/I_0^2, B_2 = (\Delta/I_0)^2$$

그러므로 위상공액파의 반사율은 다음과 같이 주어진다.

$$R = \frac{4|C|^2 \tan^2(\gamma)}{\Delta^2 (1 + \tan^2(\gamma)) + 4|C|^2} \quad (3-3)$$

이상으로 수치 해석적으로 위상공액 반사율을 구하기에 용이한 식 (3-1)과 식 (3-3)을 유도하였다. 여러 가지 입력법의 세기에 따라 위상공액 반사율을 고려할 때, 다음과 같은 매개변수를 정의하는 것이 편리하다.

펌프율(Pump Ratio): $r = I_2^*(L)/I_1(0)$ (3-4a)

나사율(Probe Ratio): $q = I_4(0)/(I_1(0) + I_2^*(L))$ (3-4b)

위상공액거울의 경우(즉, $I_2^*(L) = 0$)와 관련된 몇 가지 수치 해석 결과를 그림 2, 3에 나타내었다. 그림 2에서는 $\phi = 0$ 인 경우, 펌프율과 탐사율이 $r = 2$ 와 $q = 0.033$ 일 때, 유효 결합력 $\gamma L/2$ 의 합으로 위상공액 반사율 R 을 도시

하였다. 결합력이 클수록 R 의 최대값이 오른쪽으로 치우쳐며 쌍안정 동작이 가능하다. 그림2는 Bledowski 등이 제시한 그림2의 결과와 일치한다. 그림3에서는 $\phi = \pi/2$ 인 경우, $\mathfrak{T}L = -3$ 일 때, 펌프율 r 과 탐사율 q 의 합수로서 위상공액 반사율 R 의 경로를 도시하였다. 결과적으로 탐사율이 0에 가까워짐에 따라 위상공액 반사율 R 이 무한대로 되어, 자기 발진(Self Oscillation)이 가능하리라 예측된다. 또한 Cronin-Golomb 등의 결과는 본 논문에서 탐사율의 역수를 취한 결과인 그림3과 일치하였다. [4], [6] 그 원인은 전방 펌프파와 후방 펌프파의 기호표시가 서로 바뀐 것이다.

4. 결 론

본 논문에서는 선형흡수를 무시한 광굴절 결경제에서 펌프파의 세기가 결경체 내에서 변하는 경우를 고려한 4광파 혼합 결합파 방정식의 정확한 해를 구하였다. 본 논문에서 구한 몇 가지 수치해석 결과를 통하여 광간섭패턴과 굽절지수 회절격자 사이의 위상차 ϕ 가 0인 경우, $\mathfrak{T}L > \pi$ 인 조건下에서 다중해가 존재함을 알 수 있었으며, 결합력이 클수록 R 의 최대값이 오른쪽으로 치우쳐 쌍안정 동작이 가능하였다. 이 결과는 불안정 특성이 빔세기애 따라 좌우되는 Kerr-Like Medium에서의 경우와 대조되었으며, Bledowski 논문의 결과와 일치하였다. 또한 ϕ 가 $\pi/2$ 인 경우, 펌프율과 탐사율의 합수로 위상공액 반사율 R 의 경로를 도시하였으며, 탐사율이 0에 가까워짐에 따라 위상공액 반사율이 무한대로 근사하여 자기발진이 가능함을 예측할 수 있었다.

참 고 문 헌

1. J.P.Huignard and A.Marraikchi, "Coherent signal beam amplification in two-wave mixing experiments with photorefractive Bi-SiO Crystals", Opt.Commun., Vol.38, P.249-254, 1981.
2. B.Ya.Zel'dovich, V.I.Popovichev, V.V.Raguel'skii, and F.S.Faizullov, "Connection between the wavefronts of the reflected and exciting light in stimulated Mandel'Shtam-Brillouin scattering", Sov.Phys.JETP, Vol.15, P109-113, 1972.
3. A.Yariv and D.M.Pepper, "Amplified reflection, Phase conjugation, and oscillation in degenerate four-wave mixing", Opt.Lett., Vol.1, P16-18, 1977.
4. M.Cronin-Golomb, B.Fischer, J.O.White, and A.Yariv, "Theory and Applications of four-wave mixing in photorefractive media", IEEE J.Quantum Electron., Vol.QE-20, P12-30, 1984.
5. A.Bledowski and W.Krolikowski, "Anisotropic four-wave mixing in cubic photorefractive Crystals", IEEE J.Quan.Elec., Vol.24, P.652-659, 1988.
6. Bledowski, W.Krolikowski, and A.Kujawski, "Multistability in reflection grating real-time holography", IEEE J.Quan.Elec., Vol.QE-22, P.1547-1550, 1986.

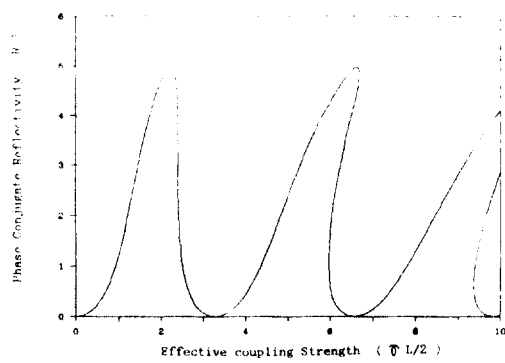


그림 2. 유효 결합력 $L/2$ 에 대한 반사율 R 의 결과 ($r = 2$, $q = 0.033$)

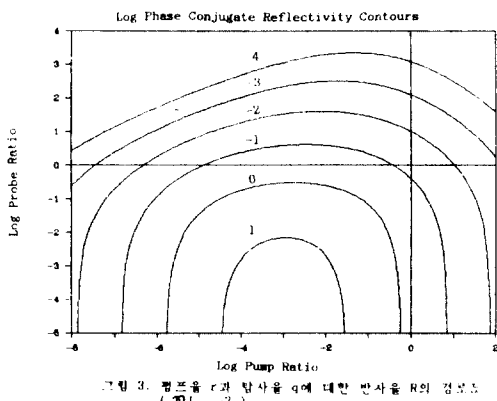


그림 3. 펌프율 r 과 탐사율 q 에 대한 반사율 R 의 경로 ($\mathfrak{T}L = -3$)